

$D = (3.5 \pm 1.5) \times 10^{-9} \text{ cm}^2 \text{ sec}^{-1}$ ; Lieban 等测得蛙和大鲵鱼的视杆外段

$$D = (5.5 \pm 0.6) \times 10^{-9} \text{ cm}^2 \text{ sec}^{-1}.$$

在 23.5°C—30°C 的范围内我们还求得了侧向扩散的温度系数  $Q_{10} = 2.36 \pm 1.17$ 。这一结果亦正处在 Poo 的结果 ( $Q_{10} = 3.7 \pm 0.7$ ) 和 Edidin 的结果 ( $Q_{10} = 1.7 \pm 0.5$ ) 之间。我们还着重测量了上述扩散系数  $D$  随温度的变化，当温度由 23.5°C 增加到 45°C 时， $D$  值也随之增加。这表明，随着温度的增加，视杆外段盘膜上分子的流动性明显地增大。这与二向色性比的实验结果是一致的。如图 3 所示，当温度逐渐增大时，二向色性比逐步下降，这就表明分子排列的有序性逐步下降，也就是膜的流动性增加。在测量双折射时，我们还发现了一个十分有趣的现象，即 45°C 时，视杆外段的双折射突然由正值变为负值。这表明在 45°C 附近，盘膜上的分子排列可能发生一个突然的转折。双折射是由正的本质双折射和负的形状双折射两部分组成。因此上述转折可能与这两种贡献的权重发生变化有关。从 ERP 实验<sup>[10]</sup>可知，45°C—48°C 时，观察到  $R_2$  的峰值最大。视杆细胞的

快速电响应中的这一现象是否与双折射的突变有关(可能意味着分子排列的突然改变)尚待深入研究。总之，视觉感受器的膜组分通常是处于具有相当有序性的液晶状态，有关它的分子排列、结构及其与生理功能间的关系至今仍不清楚，还有待深入探讨。

## 参 考 文 献

- [1] Schmidt, W. J.: *Kolloid-Z.*, **85**, 137, 1938.
- [2] Lieberman, P. A., J. Jagger, M. Kaplan and F. Bargoot: *Nature*, **251**, 31, 1974.
- [3] Denton, E. J.: *J. Physiol.*, **124**, 16, 1954.
- [4] Lieberman, P. A.: *Biophysical J.*, **2**, 161, 1962.
- [5] Cone, R. A.: *Nature (New Biology)*, **236**, 39, 1972.
- [6] Brown, P. K.: *ibid.*, **236**, 35, 1972.
- [7] M. Poo, R. Cone: *Nature*, **247**, 438, 1974.
- [8] Lieberman, P. A. Entine, G.: *Science, N. Y.* **185**, 457, 1974.
- [9] Chang-Lin Weng, et al.: *Biophysical J.*, 33—34, 225, 1981.
- [10] 蔡浩然, 马万禄, 张允芝: 《生理学报》, 1, 1981。
- [11] Smith, R. W.: *Vision Research*, **11**, 1383, 1971.
- [12] Lieberman, P. A.: *Biophysical J.*, **23**, 59, 1978.
- [13] 胡坤生, 马万禄, 谈曼琪, 赵东坡: 《生物物理与生物化学进展》, 2, 72, 1981。

【本文于1983年12月14日收到】

## 髂骨下肢延长术中的生物力学探讨

朱孝华 胡瑞娟 洪天禄 唐天驷

(苏州大学) (苏州丝绸工学院) (苏州医学院骨科)

从 1982 年开始，苏州医学院骨科对下肢不等长畸形施行经髂骨下肢延长手术已有 100 余例，病人在手术后一周均可下床扶拐行走，此后肢体延长稳定可靠，优于国内、外同类型手术。现从生物力学角度对其经验加以总结。

### 一、最佳负荷点的选择

该院骨科通过对骨盆结构的生物力学探讨，为改进原来 Salter 氏手术提供了依据。

髂骨锯开处的断面如图 1a 所示。手术采

用钛合金圆柱体内固定器撑开髂骨。人的体重、日常负荷及肌肉收缩力均会对髂骨的形态结构有影响<sup>[1]</sup>。它主要承受压缩应力，由于应力分布不均匀，在髂骨断面处宽窄不一，骨皮质亦有厚有薄。图 1(a) 中 A 点是断面最宽、骨皮质最厚处，骨小梁较密集，此处是压缩应力合力的着力点，应被选作最佳负荷点。根据 60 个髂骨标本测量，A 点距坐骨大切迹截骨点约为 2.36 厘米。手术中应根据具体情况判断 A 点位置，选准放置圆柱体支撑内固定器。

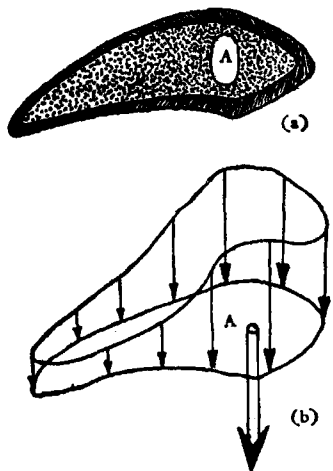


图 1

## 二、三种内固定器的比较

Millis 氏等<sup>[2]</sup>采用斯氏钉贯穿髂骨及植骨块，仅能维持植骨块的位置。而灰髓炎后遗症患者，由于缺少正常负荷和肌力刺激，其髂骨发育不良，植骨块较薄，又镶嵌在延长间隙中，易下沉，手术后肢体增高度不稳定，甚至发生回缩现象。millis 氏手术中就有一例如此。

国内采用钛合金板内固定器(图 2a)，虽比 millis 氏法有所改进，但又发现肢体增高度不稳定可靠，出现‘返短’现象。因为钛合金板只能用螺钉固定于髂骨外侧，就其所受压缩力分析，是在 A 点外侧 (图 3a)。压缩力通过螺钉传给

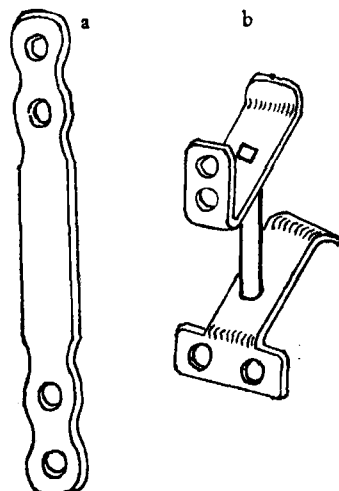


图 2

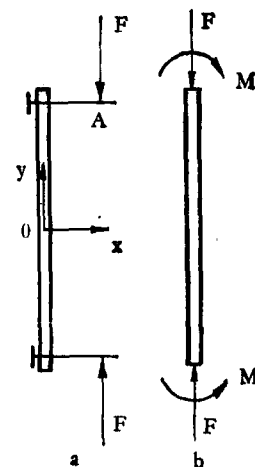


图 3

合金板，这对压缩力等效于一对压缩力  $F$  和一对等值反向的力矩  $M$  的作用 (图 3b)。如果不计及骨水泥及其余植骨的负荷，合金板在这对力矩作用下将发生弯曲形变 (图 4a)，其挠度为  $\delta$ ，由于  $\delta$  的出现，力  $F$  又产生附加力矩  $\Delta M$  (图 4b)。在一对  $M + \Delta M$  力矩作用下， $\delta$  势必再增大，结果又使  $\Delta M$  增大，这种相互促增的效果虽不象图中所表示的如此严重，但由于术后长年来，人体在运动中负荷可远大于静负荷，而合金板的厚度受形状、位置所限，抗弯能力有限，从而导致增高度下降。

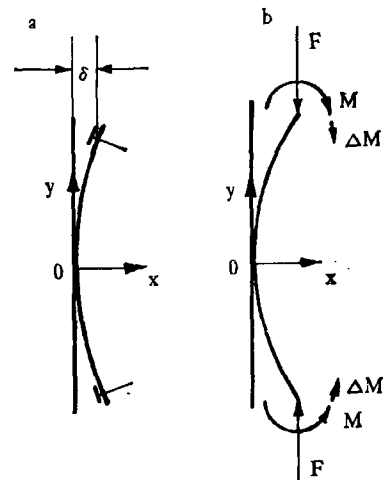


图 4

立柱式内固定器(图 2b)上、下两面合金板的宽度和厚度均可视负荷情况增大，足以抗弯

曲形变；更重要的是不会发生力矩与挠度相互促增效应。立柱本身又可与 A 点相吻合，只要直径充分大，就足以承受几倍于人体的静负荷。曾以一种钛合金立柱式内固定器作试验，其受压能力高达 1280 千克重。这样，从理论上分析，病人手术后早期活动是可行的。临床实践也已证实，90 余例病人手术后一般只需维持常规牵引 5—7 天，即可下床负重活动。

其次，两种内固定器的压缩形变亦相差悬殊。以相同材料制作的合金板和立柱式内固定器，如高度  $h$  相同，承受力  $F$  又相同，以  $E$  表示杨氏模量， $s$  表示截面积，从虎克定律得：

$$\Delta l_{\text{板}} = \frac{hF}{ES_{\text{板}}}, \Delta l_{\text{柱}} = \frac{hF}{ES_{\text{柱}}},$$

$$\frac{\Delta l_{\text{板}}}{\Delta l_{\text{柱}}} = \frac{s_{\text{柱}}}{s_{\text{板}}}$$

即缩短量与其截面积成反比，而  $s_{\text{柱}}$  可比  $s_{\text{板}}$  大得多，所以  $\Delta l_{\text{柱}}$  远小于  $\Delta l_{\text{板}}$ 。

此外，合金板内固定器所用螺钉主要用于负荷，与髂骨铆合的接触面较小，应力集中，易使骨质塌陷，也会降低增高度；而立柱式内固定器所用螺钉主要用于定位，负荷由面积很大的上、下合金板承担，应力分散，有效地保护了骨质不致损伤而降低增高度。

### 三、肢体延长的增高度计算

通常手术后骨盆的各部分都发生位移，不同部位的位移情况又有所不同。图 5 是某病人术后的 X 光片，术前原割线上的  $n$ 、 $m$  点，相应上移到  $n_1$ 、 $m_1$  点，下移到  $n'$ 、 $m'$  点。割线下部髂骨连同坐骨、耻骨发生了一次转动，转动中心在  $o_1$  点， $o_1$  是  $nn'$ 、 $mm'$  的垂直平分线的交点。髋臼部位的髂骨与股骨最高点相吻合的点  $p$  也转到了  $p'$  点（严格说，在手术前  $p$  不一定与原来股骨最高点吻合，但相距很近），就使患肢下移了  $\Delta h_1$ 。

在耻骨连接处总可找到一个点，手术前后均是左右耻骨的重合点；术前在  $s$  处，术后转到  $s'$  处。另一侧髂骨与股骨最高点相吻合的  $q$  点也转到  $q'$  点，转动中心为  $o_2$ ，相应使该侧下肢

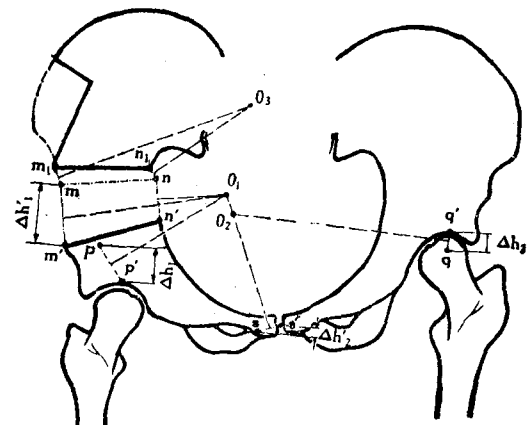


图 5

上移了  $\Delta h_2$ 。下肢延长的实际增高还与患肢一侧割线上方髂骨的转动有关，转动中心为  $o_2$ ，这一转动有助于矫正病人左、右畸形，因转角很小，对患侧下肢延长几乎没有贡献。所以下肢增高值近似被认为  $h = \Delta h_1 + \Delta h_2$ 。

应用几何法，从手术前后的 X 光片可直接量出增高值。同时作了严格的数学推导。图 6 中，患侧割线以下骨结构转过角度为  $\theta$ ， $m$  与  $m'$  间高度差为  $\Delta h'_1$ ， $p$  与  $p'$  间高度差为  $\Delta h_1$ ，建立坐标系  $o_1xy$ ，并测定下列数据

$$a_1 = \overline{mo_1} = \overline{m'o_1}, m'$$
 的坐标为  $x_1, y_1$ ;

$$a_2 = \overline{po_1} = \overline{p'o_1}, p'$$
 的坐标为  $x_2, y_2$ 。

弧长  $mm'$  由下式计算

$$x^2 + y^2 = a_1^2 \dots \dots \quad (1)$$

$$dS_1 = \sqrt{dx^2 + dy^2} \dots \dots \quad (2)$$

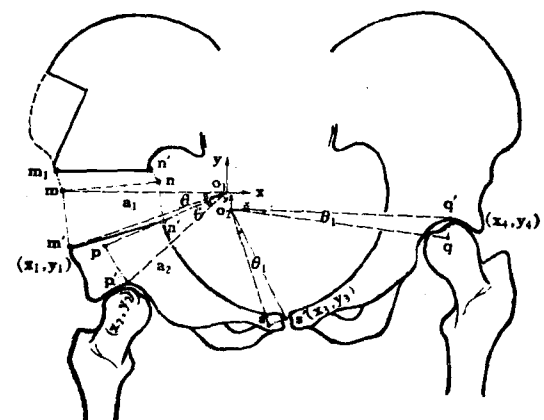


图 6

由(1)

$$2x \frac{dx}{dy} + 2y = 0$$

得

$$\left(\frac{dx}{dy}\right)^2 = \frac{y^2}{a_1^2 - y^2} \dots \dots \quad (3)$$

(3)代入(2)得

$$ds = \frac{a_1 dy}{\sqrt{a_1^2 - y^2}}$$
$$mm' = s_1 = \int ds_1 = \int_{y_1}^{y_1 + \Delta h'_1} \frac{a_1 dy}{\sqrt{a_1^2 - y^2}}$$
$$= a_1 \arcsin \frac{y}{a_1} \Big|_{y_1}^{y_1 + \Delta h'_1}$$

即

$$\frac{s_1}{a_1} = \arcsin \frac{y_1 + \Delta h'_1}{a_1} - \arcsin \frac{y_1}{a_1}$$
$$= \arcsin \left[ \frac{y_1 + \Delta h'_1}{a_1} \sqrt{1 - \left( \frac{y_1}{a_1} \right)^2} \right]$$
$$- \frac{y_1}{a_1} \sqrt{1 - \left( \frac{y_1 + \Delta h'_1}{a_1} \right)^2}$$

因转角

$$\theta = \frac{s_1}{a_1}$$

∴

$$\theta = \arcsin [(y_1 + \Delta h'_1) \sqrt{a_1^2 - y_1^2} - y_1 \sqrt{a_1^2 - (y_1 + \Delta h'_1)^2}] / a_1^2$$

即

$$\sin \theta = [(y_1 + \Delta h'_1) \sqrt{a_1^2 - y_1^2} - y_1 \sqrt{a_1^2 - (y_1 + \Delta h'_1)^2}] / a_1^2 \quad (4)$$

而  $P$  转过同样角度  $\theta$  到了  $P'$ , 同理有

$$\sin \theta = [(y_2 + \Delta h_2) \sqrt{a_2^2 - y_2^2} - y_2 \sqrt{a_2^2 - (y_2 + \Delta h_2)^2}] / a_2^2 \quad (5)$$

(4)、(5)两式左端相同, 右端应相等,

$$(y_1 + \Delta h'_1) \sqrt{a_1^2 - y_1^2} - y_1 \sqrt{a_1^2 - (y_1 + \Delta h'_1)^2} = \frac{(y_2 + \Delta h_2) \sqrt{a_2^2 - y_2^2} - y_2 \sqrt{a_2^2 - (y_2 + \Delta h_2)^2}}{a_2^2}$$

$$-\frac{(y_2 + \Delta h_2) \sqrt{a_2^2 - y_2^2} - y_2 \sqrt{a_2^2 - (y_2 + \Delta h_2)^2}}{a_2^2} \dots \dots \quad (6)$$

若测得  $y_1, a_1, \Delta h'_1$  及  $y_2, a_2$ , 可由(6)式算出  $\Delta h_2$ .

图 6 还表明另一侧髂骨转过了  $\varphi$  角, 建立  $o_2xy$  坐标系, 测定

$$a_3 = \overline{So_2} = \overline{S'o_2},$$

$s'$  坐标为  $x_3, y_3$ ;

$$a_4 = \overline{qo_2} = \overline{q'o_2},$$

$q'$  坐标为  $x_4, y_4$ .

若再量得  $\Delta h'_2$ , 由  $\sin \theta$  相同可得

$$\frac{(y_3 + \Delta h'_2) \sqrt{a_3^2 - y_3^2} - y_3 \sqrt{a_3^2 - (y_3 + \Delta h'_2)^2}}{a_3^2}$$
$$= \frac{(y_4 + \Delta h_2) \sqrt{a_4^2 - y_4^2} - y_4 \sqrt{a_4^2 - (y_4 + \Delta h_2)^2}}{a_4^2} \dots \dots \quad (7)$$

由(7)式可求得  $\Delta h_2$ , 增高值  $h = \Delta h_1 + \Delta h_2$ .

#### 四、下肢延长的经验计算公式

我们通过许多病例, 按上述作图法所得下肢实际延长值约为立柱形支撑内固定器高度的 1.13 倍左右, 当病人左、右高度差在四厘米上、下, 按上述手术延长下肢, 这个数字基本上是可信的.

以顾××的下肢延长手术为例, 病人手术前左、右高度差 4 厘米, 内固定器高度 3 厘米, 延长高度计算值为  $3 \times 1.13 = 3.39$  (厘米). X 光片测量值: 患肢下移  $\Delta h_1 = 3.0$  厘米, 好肢上移  $\Delta h_2 = 0.4$  厘米, 实际延长高度  $h = \Delta h_1 + \Delta h_2 = 3.4$  厘米, 与计算值相近. 病人治疗后患肢明显延长, 步行得到矫正.

#### 参 考 文 献

- [1] Bateson, E. M. : *Journal of Radiology*, 39, 92, 1966.
- [2] Millis, M. B. : *J. Bone and Joint Surg.*, 61(A), 1182—1194, 1979.

[本文于 1983 年 8 月 26 日收到]